



## Raport

z badań poziomu natężenia pola elektrycznego  
w otoczeniu stacji bazowej:

## TRZ3022

na podstawie sprawozdania P4/12/2023 udostępnionego przez A-CONNECT Anna Garwol-Porosa

---

### Laboratorium prowadzące badania

A-CONNECT Anna Garwol-Porosa  
Strażacka 3/2  
58-370 Boguszów-Gorce  
692 692 875

### Zleceniodawca badań

P4 Sp. z o.o.  
  
02-677 Warszawa  
790 500 500  
kontakt@play.pl

Nr akredytacji: AB 1284

Data wydania sprawozdania: 12.01.2023

Raport zawiera wybrane elementy sprawozdania i służy wyłącznie obrazowemu przedstawieniu informacji o danej instalacji. Raport nie może być wykorzystywany w postępowaniach administracyjnych.

## Informacje ogólne

Zgodność z metodyką RMK: Tak

Ograniczenia: Na podstawie art. 122a ust. 1b ustawy Prawo ochrony środowiska (t.j. Dz.U. z 2020 r., poz. 1219, 1378, 1565, 2127, 2338, z 2021 r. poz. 802, 868, 1047, 1162, 1535.), pomiary PEM w lokalach mieszkalnych i użytkowych zlokalizowanych w obszarze pomiarowym badanej stacji bazowej nie zostały przeprowadzone.

Wykorzystanie w obszarze regulowanym: Tak

## Przedmiot badań

Identyfikator stacji w UKE	TRZ3022
Operator	P4 Sp. z o.o.
Współrzędne	16,9328416; 51,2936277
Rodzaj pracy	ciągła
Rodzaj wytwarzanego pola	stacjonarne

## Miejsce badań

Otoczenie stacji bazowej TRZ3022 w lokalizacji Oborniki Śląskie, dz. nr 3/1, AR<sub>4</sub>3.

## Cel badań

1. Zweryfikowanie zgodności z wymaganiami rozporządzenia Ministra Zdrowia z dnia 19 grudnia 2019 r.

# Opis stacji bazowych

Tabela 1: Opis anten badanych stacji bazowych

Lp.	Identyfikator stacji w UKE	Typ Producent anteny	Azymut	H	EIRP	Pasma	Tilt	Tilt w trakcie pomiarów
			[°]	[m]	[W]	[MHz]	[°]	[°]
1	TRZ3022	ATR4518R11v06 Huawei	0	53,00	1188*	UMTS 900 LTE 2600 LTE 2600	0,0 - 10,0 0,0 - 10,0 0,0 - 10,0	5,0 5,0 5,0
2		AQU4518R25v06 Huawei	0	53,00	800*	LTE 800 LTE 800 LTE 1800 LTE 2100 LTE 1800 LTE 2100	0,0 - 10,0 0,0 - 10,0 2,0 - 12,0 2,0 - 12,0 2,0 - 12,0 2,0 - 12,0	5,0 5,0 5,0 5,0 5,0 5,0
3		ATR4518R11v06 Huawei	120	53,00	1188*	UMTS 900 LTE 2600 LTE 2600	0,0 - 10,0 0,0 - 10,0 0,0 - 10,0	5,0 5,0 5,0
4		AQU4518R25v06 Huawei	120	53,00	800*	LTE 800 LTE 800 LTE 1800 LTE 2100 LTE 1800 LTE 2100	0,0 - 10,0 0,0 - 10,0 2,0 - 12,0 2,0 - 12,0 2,0 - 12,0 2,0 - 12,0	5,0 5,0 5,0 5,0 5,0 5,0
5		ATR4518R11v06 Huawei	270	45,00	1188*	UMTS 900 LTE 2600 LTE 2600	0,0 - 10,0 0,0 - 10,0 0,0 - 10,0	5,0 5,0 5,0
6		AQU4518R25v06 Huawei	270	45,00	800*	LTE 800 LTE 800 LTE 1800 LTE 2100 LTE 1800 LTE 2100	0,0 - 10,0 0,0 - 10,0 2,0 - 12,0 2,0 - 12,0 2,0 - 12,0 2,0 - 12,0	5,0 5,0 5,0 5,0 5,0 5,0

\* moc EIRP łączna dla wszystkich częstotliwości anteny

## Warunki pomiarów

Pomiary w wyznaczonych punktach wykonano w następujących warunkach:

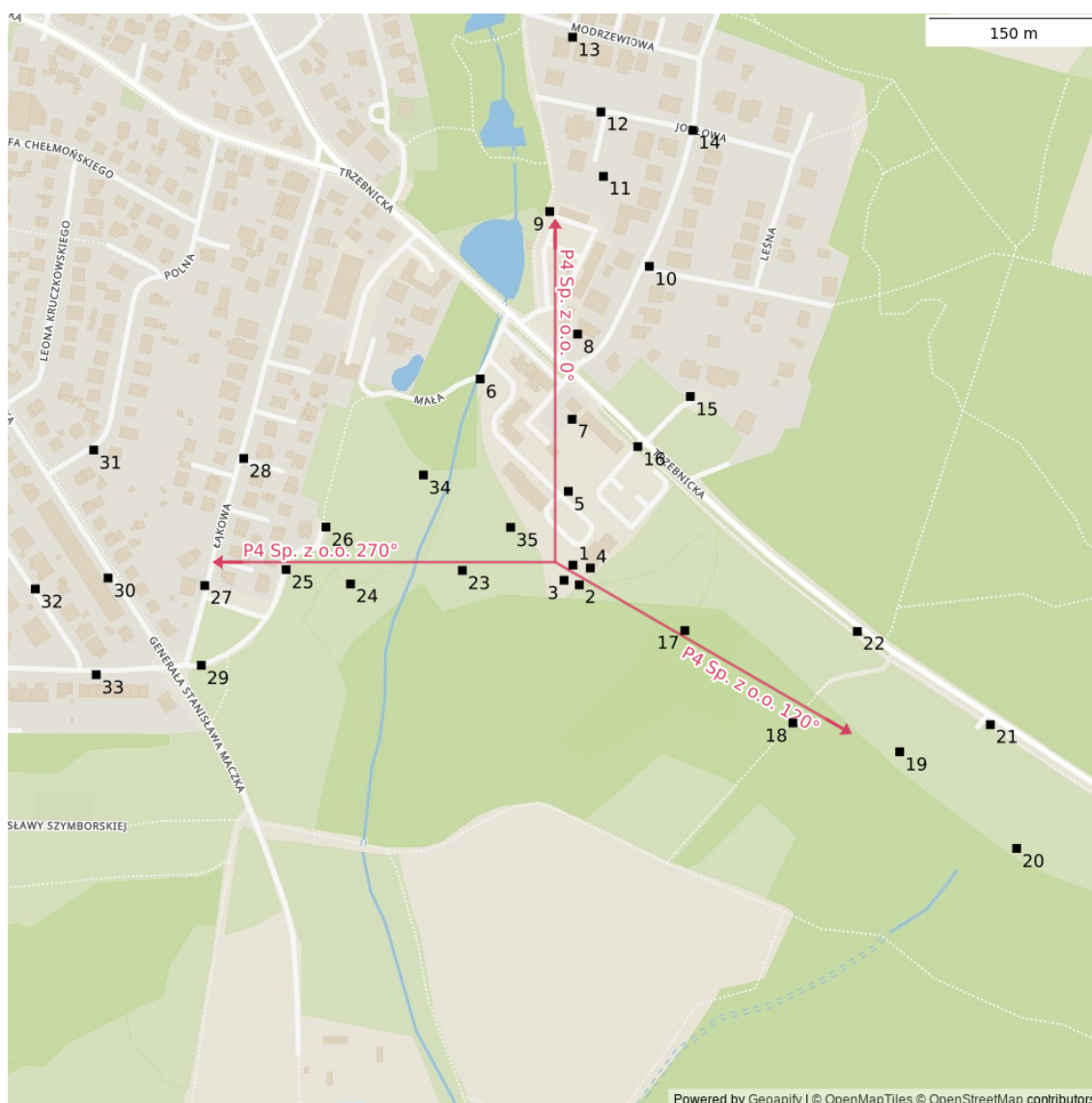
11.01.2023 14:35-16:00			
Warunki środowiskowe	Temperatura [°C]	Wilgotność [%]	Opady
Minimalna	5,6	69,7	brak
Maksymalna	7,6	72,0	

## Aparatura

Tabela 2: Aparatura

MIERNIKI I SONDY					
Lp.	Typ / Nazwa	Model	Producent	Próg detekcji	Świadectwo wzorcowania
1a	miernik	NBM-520	Narda		LWiMP/W/018/22 z dn. 19.01.2022 wydane przez LWiMP Politechniki Wrocławskiej
1b	sonda	EF6091	Narda	0,50	
POZOSTAŁE					
Lp.	Typ / Nazwa	Model	Producent	Świadectwo wzorcowania	
2	termohigrometr	H560	DOSTMANN	73708/2021 z dn. 16.04.2021 wydane przez LAB-EL ELEKTRONIKA LABORATORYJNA ANDRZEJ ŁOBZOWSKI, MARIA ŁOBZOWSKA SP. J.	

# Lokalizacje pionów pomiarowych



Rysunek 1: Plan terenu

## Wyniki pomiarów szerokopasmowych

Tabela 3: Zestawienie lokalizacji pionów pomiarowych oraz wyników pomiarów natężenia pola elektrycznego, pomiary szerokopasmowe

Nazwa	Data	Współrzędne geograficzne	E	WM <sub>E</sub>	H	WM <sub>H</sub>
		[°]	[ $\frac{V}{m}$ ]		[ $\frac{A}{m}$ ]	
1	11.01.2023	16,9330670 51,2936040	1,00	0,036	0,003	0,036
2	11.01.2023	16,9331470 51,2934480	0,71	0,025	0,002	0,026
3	11.01.2023	16,9329540 51,2934840	0,71	0,025	0,002	0,026

Ciąg dalszy na następnej stronie

Tabela 3: Zestawienie lokalizacji pionów pomiarowych oraz wyników pomiarów natężenia pola elektrycznego, pomiary szerokopasmowe (c.d.)

Nazwa	Data	Współrzędne geograficzne	E	WM <sub>E</sub>	H	WM <sub>H</sub>
		[°]	[ $\frac{V}{m}$ ]		[ $\frac{A}{m}$ ]	
4	11.01.2023	16,9332870 51,2935810	< 0,71	< 0,025	< 0,002	< 0,026
5	11.01.2023	16,9330080 51,2941880	0,86	0,031	0,002	0,031
6	11.01.2023	16,9318920 51,2950770	1,57	0,056	0,004	0,057
7	11.01.2023	16,9330560 51,2947580	0,86	0,031	0,002	0,031
8	11.01.2023	16,9331260 51,2954320	1,14	0,041	0,003	0,041
9	11.01.2023	16,9327720 51,2964020	1,71	0,061	0,005	0,062
10	11.01.2023	16,9340330 51,2959680	0,86	0,031	0,002	0,031
11	11.01.2023	16,9334530 51,2966800	2,42	0,086	0,006	0,088
12	11.01.2023	16,9334210 51,2971900	2,42	0,086	0,006	0,088
13	11.01.2023	16,9330620 51,2977820	1,00	0,036	0,003	0,036
14	11.01.2023	16,9345850 51,2970440	0,71	0,025	0,002	0,026
15	11.01.2023	16,9345530 51,2949380	1,43	0,051	0,004	0,052
16	11.01.2023	16,9338880 51,2945420	2,14	0,076	0,006	0,078
17	11.01.2023	16,9344830 51,2930860	< 0,71	< 0,025	< 0,002	< 0,026
18	11.01.2023	16,9358510 51,2923550	< 0,71	< 0,025	< 0,002	< 0,026
19	11.01.2023	16,9372030 51,2921270	< 0,71	< 0,025	< 0,002	< 0,026
20	11.01.2023	16,9386840 51,2913620	< 0,71	< 0,025	< 0,002	< 0,026
21	11.01.2023	16,9383510 51,2923410	1,00	0,036	0,003	0,036
22	11.01.2023	16,9366670 51,2930790	1,14	0,041	0,003	0,041
23	11.01.2023	16,9316670 51,2935620	0,71	0,025	0,002	0,026
24	11.01.2023	16,9302510 51,2934550	< 0,71	< 0,025	< 0,002	< 0,026

Ciąg dalszy na następnej stronie

Tabela 3: Zestawienie lokalizacji pionów pomiarowych oraz wyników pomiarów natężenia pola elektrycznego, pomiary szerokopasmowe (c.d.)

Nazwa	Data	Współrzędne geograficzne	E	WM <sub>E</sub>	H	WM <sub>H</sub>
		[°]	[ $\frac{V}{m}$ ]		[ $\frac{A}{m}$ ]	
25	11.01.2023	16,9294350 51,2935690	0,86	0,031	0,002	0,031
26	11.01.2023	16,9299400 51,2939050	1,14	0,041	0,003	0,041
27	11.01.2023	16,9284050 51,2934420	0,71	0,025	0,002	0,026
28	11.01.2023	16,9288990 51,2944480	< 0,71	< 0,025	< 0,002	< 0,026
29	11.01.2023	16,9283620 51,2928110	1,71	0,061	0,005	0,062
30	11.01.2023	16,9271820 51,2935020	< 0,71	< 0,025	< 0,002	< 0,026
31	11.01.2023	16,9270000 51,2945150	< 0,71	< 0,025	< 0,002	< 0,026
32	11.01.2023	16,9262600 51,2934150	< 0,71	< 0,025	< 0,002	< 0,026
33	11.01.2023	16,9270320 51,2927370	0,86	0,031	0,002	0,031
34	11.01.2023	16,9311730 51,2943170	1,00	0,036	0,003	0,036
35	11.01.2023	16,9322780 51,2939030	0,71	0,025	0,002	0,026

## Podsumowanie

Na podstawie wyników pomiarów pola elektromagnetycznego przedstawionych w niniejszym raporcie o nr P4/12/2023 opracowanym przez A-CONNECT Anna Garwol-Porosa stwierdza się, że w otoczeniu stacji bazowej TRZ3022 dopuszczalne poziomy pól elektromagnetycznych w środowisku, określone w przepisach wydanych na podstawie art. 122 ust. 1 ustawy z dnia 27 kwietnia 2001 r. – Prawo ochrony środowiska uznaje się za **dotrzymane**. Udokumentowano, że w żadnym pionie pomiarowym wartości wskaźnikowe WM<sub>E</sub> oraz WM<sub>H</sub> nie przekroczyły 1.

## Osoby odpowiedzialne

Wykonanie pomiarów: b.d.

Opracowanie sprawozdania: b.d.

Autoryzacja sprawozdania: Marcin Łazuta (Kierownik techniczny)